

FIG. 1A

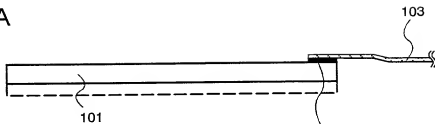


FIG. 1B

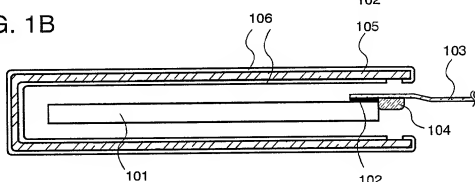
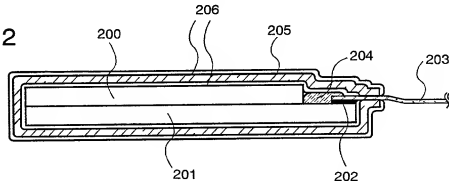


FIG. 1C

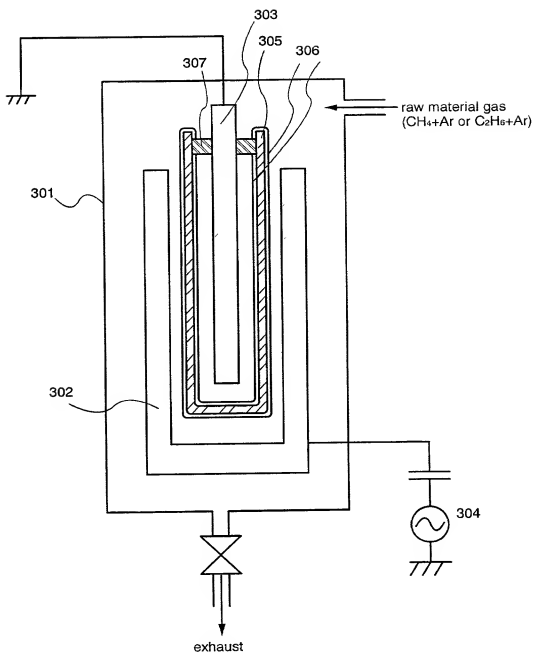


FIG. 2



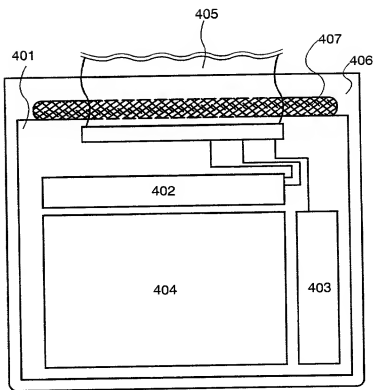
10077370 - 021502

FIG. 3



10077370 - 021502

FIG. 4A



10077370.021502

FIG. 4B

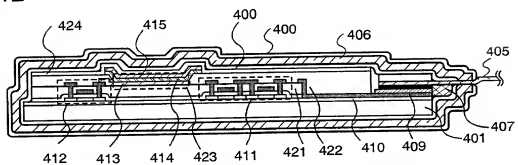


FIG. 5A

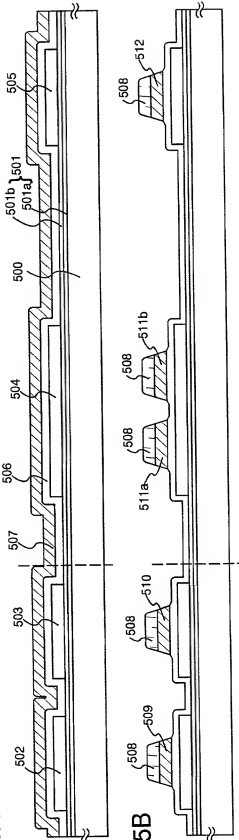


FIG. 5B

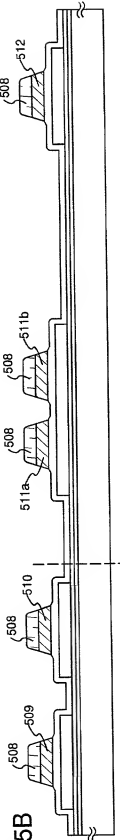


FIG. 5C

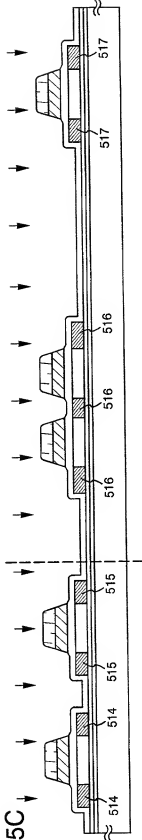
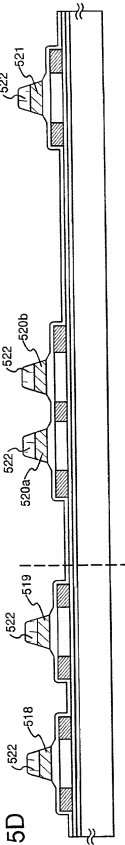


FIG. 5D



205120° 0<ε<00°

FIG. 6A

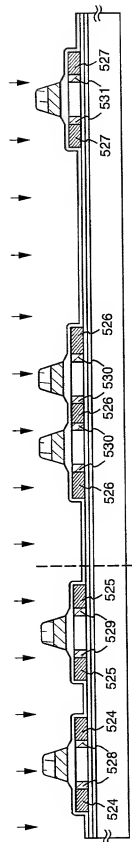


FIG. 6B

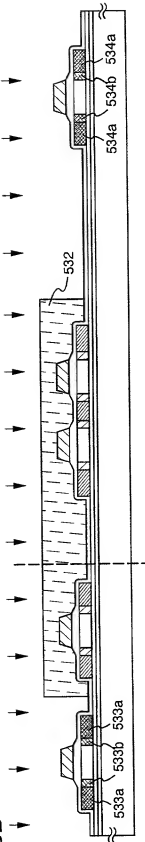
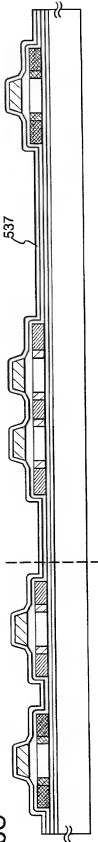


FIG. 6C



205120 * DSEGZDOT

FIG. 7A

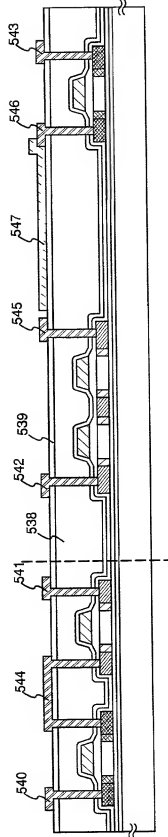
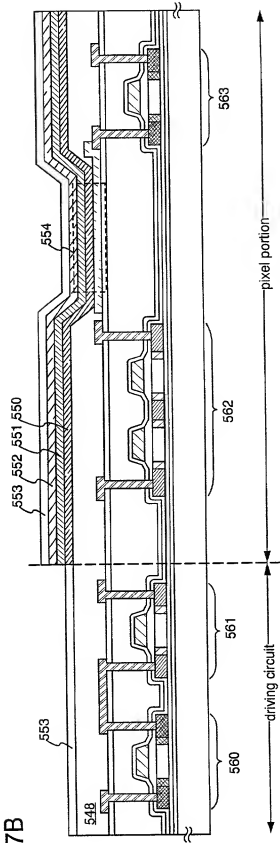


FIG. 7B



1007370 · 021502

FIG. 8A

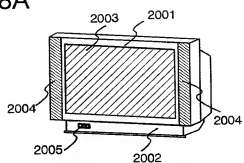


FIG. 8B

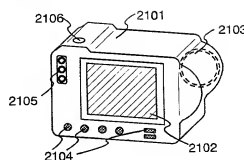


FIG. 8C

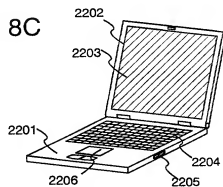


FIG. 8D

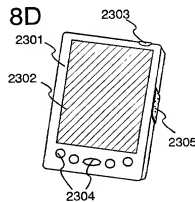


FIG. 8E

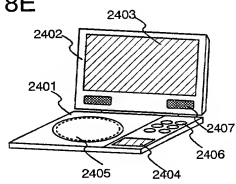


FIG. 8F

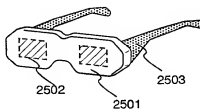


FIG. 8G

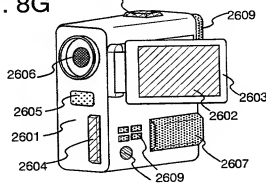


FIG. 8H

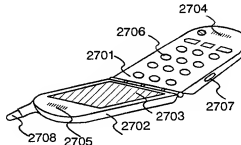
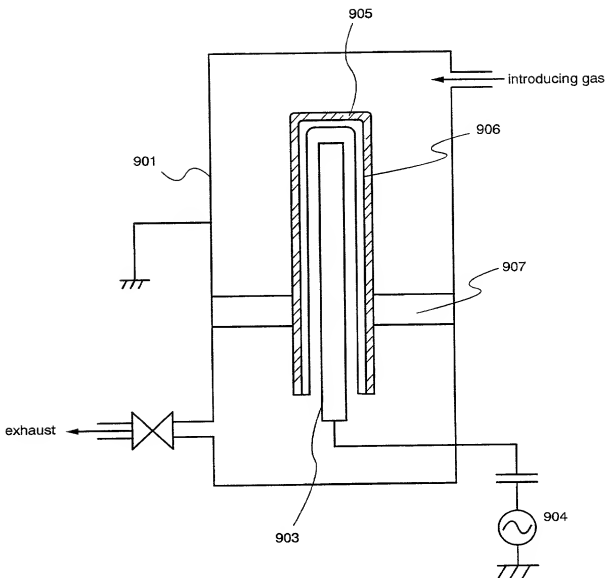


FIG. 9



10077370 - 021502

FIG. 10 transmissivity of AlN_xO_y

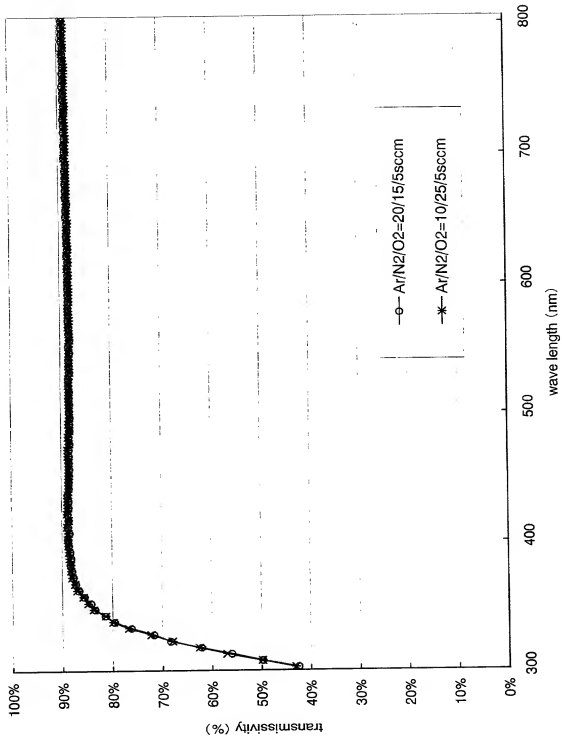


FIG. 11 transmissivity of Al_xNy

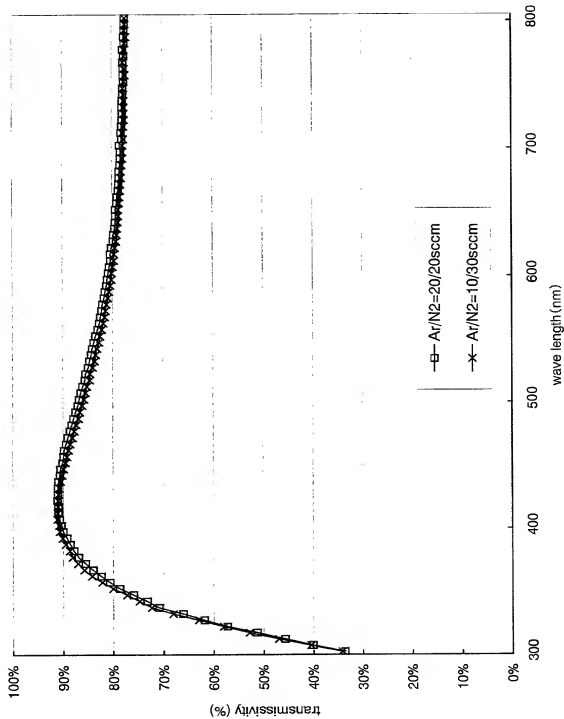


FIG. 12

